

УДК 621.7.016.2

Гунько И.В.

Винницкий государственный аграрный университет. Украина, г. Винница

ЭКСПЕРИМЕНТАЛЬНЫЕ ИССЛЕДОВАНИЯ ДАВЛЕНИЯ ПРИ ТРАДИЦИОННОЙ И ИЗОМЕТРИЧЕСКОЙ ВАЛЬЦОВКАХ

Анотация

У статті даний аналіз залежності тиску металу на валки від ступеня обтиснення, температури нагрівання вальцовальних штампів, коефіцієнта витягування й радіуса кривизни овального калібрю.

Експериментальними даними встановлене, що вальцовування заготовок в умовах ізотермічного деформування знижує тиск металу на валки в 1,8 і більше разів.

Проведені експерименти показали, що з підвищеннем температури нагрівання вальцовальних штампів до 350, 400 і 450°C, тиск на валки зменшується в порівнянні зі значеннями тисків при деформації заготовок у вальцовальних штампах, що мають температуру 20°C та ступені обтиснень 30, 40, 50% відповідно на: 350°C – 55,8%, 47,5%, 38,73%; 400°C – 54,15%, 46,5%, 38,24%; 450°C – 53,3%, 46,5%, 38,2%.

В інтервалі температур нагрівання вальцовальних штампів 350–45°C, тиск при різних ступенях обтиснення змінюється незначно, а при досягненні вальцовальними штампами температур 400°C і вище майже стабілізується, а збільшення ступеня обтиснення впливає тільки на абсолютні значення тиску $P_{\text{от}}$.

Abstract

An analysis to dependencies of the metal pressure on the rolls from reduction rate, rolling stamps heating temperature, elongation ratio and oval calibre curvature radius is given in article.

Experimental data has determined that rolling of the billet in isothermal deformation conditions reduces the metal pressure on the rolls in 1,8 and more once.

Performed experiments has shown that with increasing of the rolling stamps heating temperature to a 350, 400 and 450°C, the pressure on rolls reduces, in comparison with the pressures value when deforming the billet in rolling stamps, having temperature 20°C and reduction rate 30, 40, 50%, accordingly on: 350°C – 55,8%, 47,5%, 38,73%; 400°C – 54,15%, 46,5%, 38,24%; 450°C – 53,3%, 46,5%, 38,2%.

In interval of the heating temperature of the rolling stamps 350–450°C, pressure under different reduction rate changes insignificantly, but at achievement rolling stamp the temperature of 400°C and more have almost stabilized, but an increase of reduction rate affects only on absolute pressure value $P_{\text{от}}$.

Актуальность разработки и внедрения малоотходных технологических процессов штамповки поковок из алюминиевых сплавов с применением процесса вальцовки на предприятиях авиационной промышленности, обусловлена значительным применением в изделиях отрасли этих сплавов, повышенным расходом металла (КИМ 0,15–0,3), высокой трудоемкостью, длительным циклом изготовления качественных штампованных поковок (как правило 2–3 штамповки с промежуточными операциями нагрева, обрезки облоя, травления, зачистки) и задачами по совершенствованию металлоберегающих технологий. Широкое использование алюминиевых сплавов определяется их техническими, физическими и механическими свойствами. Они должны обладать высокими статическими прочностными характеристиками (пределом прочности, пределом текучести, сопротивлением срезу), удовлетворительной пластичностью и термомеханическими характеристиками, что необходимо учитывать при разработке технологических процессов их горячего деформирования.

Процесс вальцовки заготовок в калибрах различной конфигурации характеризуется неравномерным распределением контактных напряжений как по длине так и по ширине очага деформации. В работах [1, 2] получены формулы, позволяющие определять контактные напряжения с учетом неравномерности их распределения в зоне формоизменения. При этом принято условие постоянства напряжения текучести обрабатываемого материала в процессе деформации ($\sigma_i = \beta \sigma_t$). Это снижает достоверность полученных уравнений, так как скорость деформации и зависящее от нее напряжение текучести материала реально переменны как по длине, так и по ширине зоны деформирования.

В настоящее время распределение давлений достаточно хорошо исследовано с помощью точечных месдоз. Установлено, что вид эпюры давлений зависит от условий прокатки, и в первую очередь от таких факторов, как отношение длины очага деформации к средней высоте полосы в очаге деформации ($\ell_d/h_{\text{ср}}$), коэффициента трения μ и угла контакта [3].

Для определения влияния степени обжатия, температур нагрева вальцовочных штампов на давление металла на валки, заготовки из алюминиевых сплавов АК6, АК4, АК8, АМг2, АМг6, АМЦ с размерами Ø16x150 мм нагретые до температуры 450°C вальцевали в гладких валках со степенями деформации 30, 40 и 50%. Вальцовку проводили в штампах нагретых последовательно до температур 20, 50, 100, 150, 200, 250, 300, 350, 400, 450°C, при которых проводились эксперименты. Температуру замеряли хромель – алюмелевой термопарой и регулировали с помощью самопишущего прибора КСП. Оптимальная частота вращения валков составляла 12 мин⁻¹, которая была принята для дальнейших исследований. В экспериментальных исследованиях использованы методы оптической микроскопии, математической статистики.

Измерение давления проводилось с помощью месдоз в виде силоизмерительного стакана с записью показаний осцилографа Н – 105 на светочувствительную бумагу типа УФ шириной 120 мм.

В табл. 1 представлены экспериментальные данные значений относительного давления $P_{\text{от}}$ в зависимости от степени обжатия и температуры нагрева вальцовочных штампов при вальцовке заготовок Ø16x150 мм.

Анализ экспериментальных данных, представленных в табл. 1 и на рис. 1, показывает, что относительное давление металла на валки $P_{\text{от}} = 1 - (P_0 - P_1)/P_0$ уменьшается с повышением температуры нагрева вальцовочных штампов, и, наиболее интенсивно с увеличением степени обжатия.

Таблица 1

Значения относительного давления Рот в зависимости от степени обжатия ε и температуры нагрева вальцовочных штампов t_B

№ п/п	$\varepsilon = 30\%$		$\varepsilon = 40\%$		$\varepsilon = 50\%$	
	$t_B, ^\circ\text{C}$	$P_{\text{от}}$	$t_B, ^\circ\text{C}$	$P_{\text{от}}$	$t_B, ^\circ\text{C}$	$P_{\text{от}}$
1	20	0,4	20	0,5083	20	0,6664
2	350	0,2232	350	0,2415	350	0,2581
3	400	0,2166	400	0,2365	400	0,2548
4	450	0,2133	450	0,2365	450	0,2548

Так, с повышением температуры нагрева вальцовочных штампов до 350, 400 и 450°C, давление на валки уменьшается по сравнению с значениями давлений при деформации заготовок в вальцовочных штампах, имеющих температуру 20°C и степени обжатий 30, 40, 50% соответственно на: 350°C – 55,8%, 47,5%, 38,73%; 400°C – 54,15%, 46,5%, 38,24%; 450°C – 53,3%, 46,5%, 38,2%.

В интервале температур нагрева вальцовочных штампов 350–450°C давление металла на валки при различных степенях обжатия изменяется незначительно, а при достижении вальцовочными штампами температур 400°C и выше почти стабилизируется, а увеличение степени обжатия влияет только на абсолютные значения давления $P_{\text{от}}$, (рис. 1).

Анализ экспериментальных данных представленных на рис. 1 показывает, что при вальцовке заготовок в условиях изотермического и приближенных к нему деформирования, давление металла на валки уменьшается с ростом температуры

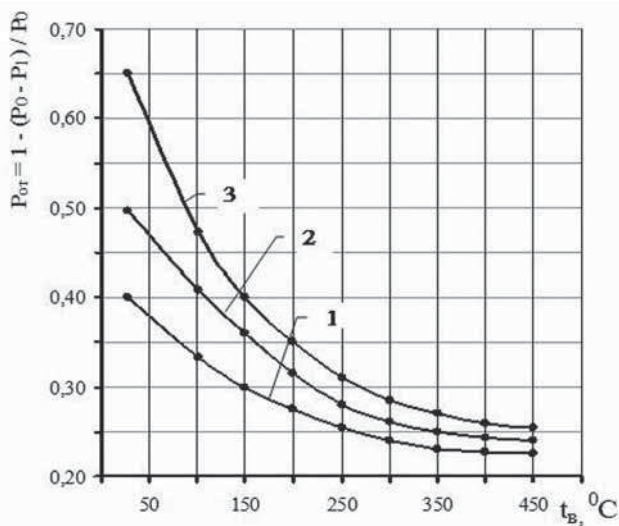


Рис. 1. Зависимость давления металла на валки от температуры нагрева вальцовочных штампов и степени обжатия:
1 – 30%; 2 – 40%; 3 – 50%.

Температура нагрева заготовок – 450°C

нагрева вальцовочных штампов наиболее интенсивно в интервале температур 20–350°C. Дальнейший нагрев вальцовочных штампов не приводит к существенному снижению давления и является нецелесообразным, так как ведет к дополнительному расходу энергии. Кроме этого наблюдается появление окалины на поверхности вальцовочных штампов.

Экспериментальными данными установлено, что вальцовка заготовок в условиях изотермического деформирования снижает давление металла на валки в 1,8 и более раз. Это является подтверждением улучшения пластичности металла при его деформировании в изотермических условиях и использования оборудования меньшего усилия. Кроме этого, нагрев вальцовочных штампов до температур деформирования (или близко к ним) позволяет снизить усилие деформирования за счет повышения пластичности обрабатываемого металла, которое происходит из-за полного протекания разупрочняющих процессов. Равномерная деформация заготовки, при отсутствии зон затрудненной деформации и локального перегрева, обеспечивает хорошую и всестороннюю проработку структуры, и, как следствие, уменьшает разброс свойств в объеме заготовки.

Для сравнения давления металла на валки при традиционной и изотермической вальцовках, были взяты экспериментальные данные (рис. 2, 3, 5), полученные при вальцовке заготовок из алюминиевых сплавов и описанные в работе [4].

На рис. 2 видно, как радиус кривизны овальных калибров влияет на давление металла в зависимости от степени обжатия. С увеличением степени обжатия давление металла на валки растет,

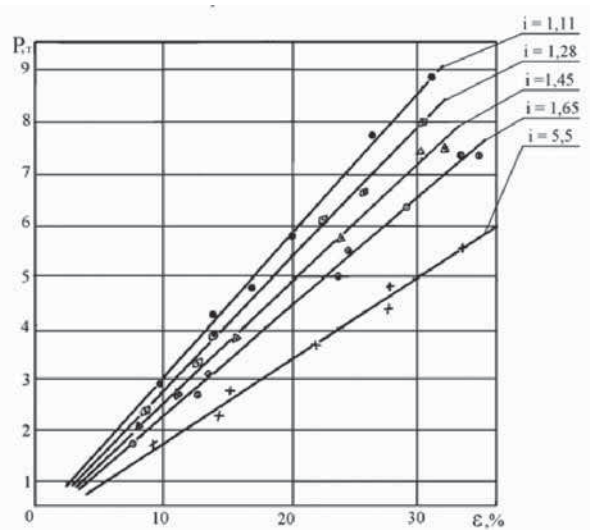


Рис. 2. Зависимость давления от степени обжатия и кривизны овальных калибров:

$$R_k/R_3 = i; F_{\text{cm}} = \text{const} [4]$$

а в калибрах с меньшим отношением R_k/R_3 давление при одном и том же обжатии выше (R_k – радиус калибра, R_3 – радиус заготовки).

Анализ (рис. 3) показывает, что с увеличением степени обжатия коэффициент вытяжки растет интенсивнее всего в калибрах с меньшим отношением R_k/R_3 . При отношении R_k/R_3 , равном 1,11 и 1,22, наблюдается переполнение калибра металлом и появление облоя по линии разъема.

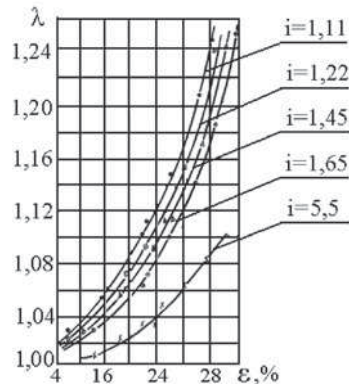


Рис. 3. Зависимость коэффициента вытяжки от степени обжатия и кривизны овальных калибров: $R_k/R_3 = i$, $F_{cm} = \text{const}$ [4]

Характер изменения зависимостей на рис. 2, 3 можно объяснить, рассмотрев схему процесса, представленную на рис. 4.

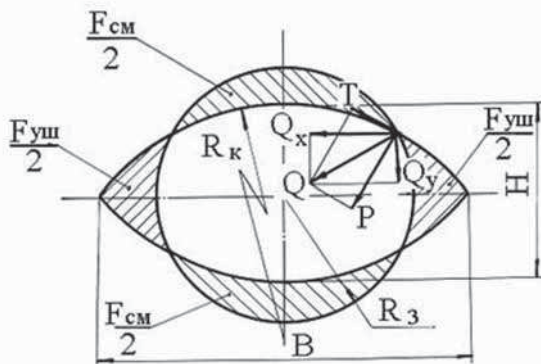


Рис. 4. Схема распределения сил при вальцовке заготовок круглого сечения в овальном калибре [4]

При вальцовке заготовки с высотой H в калибрах со стороны инструмента валков на нее действуют нормальные силы P и силы трения T . Обозначим равнодействующую силу через Q , а ее проекции на оси координат Q_x и Q_y . Как видно из рисунка, горизонтальная составляющая препятствует течению металла по ширине B калибра. Чем больше значение Q_x , тем сильнее стесняющее действие оказывают стенки калибра перемещению металла в поперечном направлении, поэтому возрастает давление металла на валки, уменьшается площадь смещения на уширение F_{yush} , увеличивается вытяжка.

Таким образом, из проведенного анализа ясно, что с увеличением радиуса овального калибра при

постоянной смещенной площади вальцовкой заготовки сопротивление стенок калибра перемещению металла по ширине уменьшается, а это вызывает изменение соотношения объемов металла, перемещаемых в продольном и поперечном направлениях.

На рис. 5 представлены результаты экспериментов по определению зависимости общего усилия P от отношения ℓ_d/h_{cp} (коэффициента формы) при определении базисного давления. Повышение значений общего усилия с увеличением ℓ_d/h_{cp} объясняется тем, что площадь контакта металла и валков увеличивается. При этом возрастают силы трения на контактных поверхностях, направленные к нейтральному сечению, а в результате сопротивления перемещению металла вдоль оси заготовки увеличивается и вследствие этого растет давление металла на валки.

Коэффициент внешнего трения между прокатываемым металлом и валками определялся из условия максимального угла захвата металла валками при прокатке и среднее его значение равнялось $\approx 0,35$.

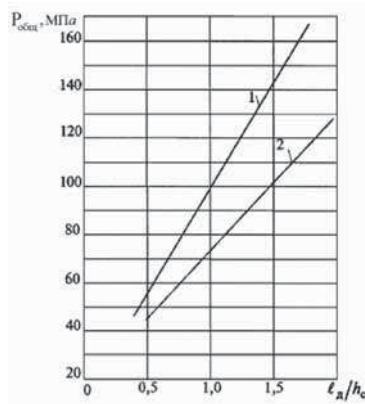


Рис. 5. Общее усилие при вальцовке эталонных образцов для определения базисного давления при температуре: 1 – 420°C ; 2 – 470°C [4]

Особенностью отличия результатов изотермического деформирования (рис. 1) от традиционного (рис. 2, 3, 5) заключается в характере поведения зависимости давления от степени обжатия и температуры нагрева вальцовочных штампов. Сравнивая результаты экспериментов по влиянию степени обжатия видно, что с увеличением обжатия растет давление металла на валки, вследствие увеличения контактной площади смещенного объема металла вдоль и поперек очага деформации и повышения сил трения на контактных поверхностях, направленных к нейтральному сечению. В результате сопротивление перемещению металла растет и увеличивается давление.

Снижение давления металла на валки с увеличением температуры нагрева вальцовочных штампов происходит за счет протекания разупрочняющих процессов и повышения пластичности обрабатываемого металла.

Выводы

В статье дан анализ зависимости давления металла на валки от степени обжатия, температуры нагрева вальцовочных штампов, коэффициента вытяжки и радиуса кривизны овального калибра.

1. Экспериментальными данными установлено, что вальцовка заготовок в условиях изотермического деформирования снижает давление металла на валки в 1,8 и более раз. Снижение давления металла на валки с увеличением температуры нагрева вальцовочных штампов происходит за счет протекания разупрочняющих процессов и повышения пластичности обрабатываемого металла. Это является подтверждением улучшения пластичности металла при его деформировании в изотермических условиях и использования оборудования меньшего усилия.

2. Проведенные эксперименты показали, что с повышением температуры нагрева вальцовочных штампов до 350, 400 и 450°C, давление на валки уменьшается по сравнению с значениями давлений при деформации заготовок в вальцовочных штампах, имеющих температуру 20°C и степень обжатий 30, 40, 50% соответственно на: 350°C – 55,8%, 47,5%, 38,73%; 400°C – 54,15%, 46,5%, 38,24%; 450°C – 53,3%, 46,5%, 38,2%.

В интервале температур нагрева вальцовочных штампов 350–450°C давление при различных степенях обжатия изменяется незначительно, а при достижении вальцовочными штампами температур 400°C и выше почти стабилизируется, а увеличение степени обжатия влияет только на абсолютные значения давления $P_{\text{от}}$.

3. Приведены результаты экспериментов по определению зависимости общего усилия P от

отношения $\ell_d/h_{\text{ср}}$ при определении базисного давления традиционной вальцовкой. Повышение значений общего усилия с увеличением $\ell_d/h_{\text{ср}}$ объясняется тем, что площадь контакта металла и валков увеличивается. При этом возрастают силы трения на контактных поверхностях, направленные к нейтральному сечению, а в результате сопротивления перемещению металла вдоль оси заготовки увеличивается и вследствие этого растет давление металла на валки.

4. Коэффициент внешнего трения между прокатываемым металлом и валками определяли из условия максимального угла захвата металла валками при прокатке и среднее его значение равнялось $\approx 0,35$.

5. Отмечено, что особенностью отличия результатов изотермического деформирования от традиционного заключается в характере поведения зависимости давления от степени обжатия и температуры нагрева вальцовочных штампов.

Литература

1. Грудев А.П. Теория прокатки / Грудев А.П. // М.: Металлургия, 1988. – 240 с.
2. Целиков А.И., Гришков А.И. Теория прокатки. / Целиков А.И. // М.: Металлургия, 1980. – 359 с.
3. Целиков А.И., Никитин Г.С., Рокотян С.А. Теория продольной прокатки / Целиков А.И. // М.: Металлургия, 1980. – 320 с.
4. Скрябин С.А. Технология горячего деформирования заготовок из алюминиевых сплавов на ковочных вальцах / Скрябин С.А. // Винница: О. Власюк, 2007. – 284 с.